

中國地理研究所

測量專刊

第五號

(暫行本)

贈閱

輻線三角測量稜形鎖誤差之檢討

王之卓

中國地理研究所大地測量組印行

四川李莊

中華民國三十二年七月

南京圖書館藏

輻線三角測量變形誤差之檢討

王之卓

(一) 偶然誤差

德人芬士特瓦爾德 (S. Finsterwalder) 曾演北得查測角誤差傳
播之普通公式為：

$$m_y^2 = m_{d_0}^2 + s^2 \cdot m_{d_0}^2 + \frac{s^2}{3b} \cdot \mu^2$$

$$m_x^2 = m_{d_0}^2 + s^2 \cdot m_{p_0}^2 + \frac{s^2}{3b} \cdot \mu_p^2$$

此公式適用於由一基線出發等級進行之角鎖，其中之符号各代表

μ —— 角度之中誤差

m_x —— 方向之中誤差

m_{d_0} —— 起始方向之中誤差

m_p —— 比例尺傳播之中誤差

m_{p_0} —— 起始邊長 (基線) 之比例尺誤差

m_x, m_y —— 點之縱向及橫向距離中誤差

s —— 導線邊長

n —— 導線之數目

德國葛魯伯 (Gruber) 教授根據之以探討輻線三角測量變形誤偶
然誤差之傳播，得

$$\mu_p^2 = 5\mu^2$$

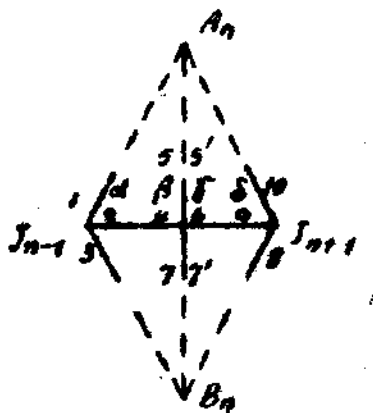
其論點為：輻線三角測量變形誤差中之第一輻線點，其縱向 (x 方

向)之點位誤差約為 $\sqrt{5}$ 倍於其精簡(±方向)之點位誤差，故縱形鎖所決定之方向遠勝於其精確度之比例尺。立圓錐 Buchholz 數據亦有同樣結果導出，但此種理論上之結論不與事實相符合，荷蘭人 Kint首先發現此事實。因並非得正確之結果應為：

$$\mu_p^2 = 2.5 \mu^2$$

其理論之推演亦欠完善，蓋縱形鎖之平差必須與應用輻線三角測量儀 (Radiotriangulator) 所實際觀測時之情形相符合也。

已往之演化率曾畧舉二點：



圖一

- 一、觀測島方向觀測而華角度觀測
- 二、在方向觀測中方向 (1) 與 (7) 各獨立觀測兩次，(區分之為 s_1 , s'_1 , 及 $z_1 z'$)，故須分開，檢方向 (1) (4) (5) 為一組，(7') (6) (5') 為另一組。

茲依黑龍江計算實驗情形演化率關係如下。其與嚴格理論之不同者，即方向 (2) (4) 或 (6) (9) 之誤差，各各同時影響及至兩端之縱形，此時則惡劣其影响，而檢各種形單獨之平差步驟檢討之。

縱形鎖平差之條件方程式為：

$$\frac{\sin(2-1)\sin(6-5'+10-9)\sin(9-8)\sin(13-2+4-7)}{\sin(2-1+5-4)\sin(10-9)\sin(7'-6+9-8)\sin(3-2)} = 1 \quad (2)$$

$$7' - 5' + 5 - 7 = 360 \quad (3)$$

今以 α 與 β 等角之約值為 45° ， β 及 γ 等角之約值為 90° 計算，則式 (2) 可化為直線式：

$$-2d(1) + 4d(2) - 2d(3) - 2d(4) + d(5) + d(5') - 2d(6) + d(7) \\ + d(7') - 2d(8) + 4d(9) - 2d(10) + W = 0 \quad (4)$$

以式(3)各角之係數為正而式(2)各角之係數為負，則得法方程式之係數為

$$(aa) = 60, \quad (ab) = 0, \quad (bb) = 4 \quad (5)$$

今試求比例尺傳播之誤差，可由發射邊長計算之公式：

$$b_2 = b_1 \frac{\sin(2-1) \sin(6-5'+10-9)}{\sin(2-1+5-4) \sin(110-9)} \quad (6)$$

或

$$\log b_2 = \log b_1 + \log \frac{\sin(2-1) \sin(6-5'+10-9)}{\sin(2-1+5-4) \sin(110-9)} \\ = \log b_1 + F(l_1, l_2, \dots, l_n)$$

擴分之，則

$$\frac{db_2}{b_2} - \frac{db_1}{b_1} = -2d(1) + 2d(2) - d(4) + d(5) + d(5') \\ - d(6) + 2d(9) - 2d(10) \quad (7)$$

即為其比例尺誤差。以 m 為方向觀測之中誤差，則其比例尺傳播之中誤差應為：

$$m_F^2 = (FF) m^2 \quad (8)$$

$$(FF) = (ff) - \frac{(af)^2}{(aa)} - \frac{(bf)^2}{(bb)} - [(ff) - \frac{(af)^2}{(aa)} - \frac{(bf)^2}{(bb)}] \quad (9)$$

由式(7)與式(4)或(3)得：

$$(ff) = 20, \quad (af) = 30, \quad (bf) = 0$$

4

故

$$m_F^2 = \left(20 - \frac{(30)^2}{60}\right) m^2 - 5m^2 = 25\mu^2 \quad (10)$$

方向之傳播公式則為：

$$F = (6) + (4) \quad (11)$$

以此方式與式(3)、(4)相較，則得式(9)內之：

$$(FF) = 2, \quad (af) = 0, \quad (bf) = 0$$

$$\text{故} \quad m_F^2 = (FF) m^2 = 2m^2 = \mu^2 \quad (12)$$

以式(11)及(12)代入式(1)得：

$$\begin{aligned} m_y^2 &= m_{y_0}^2 + S^2 m_{d_0}^2 + \frac{S^2}{3D} \mu^2 \\ m_x^2 &= m_{x_0}^2 + S^2 m_p^2 + \frac{S^2}{3D} (25) \mu^2 \end{aligned} \quad (13)$$

是以由複形鏡所得高值織線方向誤差之比例應約為 $1:\sqrt{2.5} = 1:1.6$ ，與荷蘭 Kint 所得者相同。

(二) 条件誤差

轄課三角測量固有系統誤差存在，故難能達到高度之精度。由實際經驗，則在轄課三角測量時固有系統之比例尺誤差存在。其原因尚未能加以適當之解釋。此種現象前由德人羅曼於 1935 年在 "Theorie und Praxis von Aeropolygonierung und Aeromirelement" 文內發表，雖則在 1939 年蔣人慶在第六屆攝影測量會議內，報告甚多實例，證實其存在而未幾却以解釋。茲在理論上推究之。

有系統之誤差可發生自兩種原因：一自攝影方向之誤斜，一自地面之高程差。兩種誤差本非顯著偏離性質，但其每種組合對複形鏡各方向值可能作有系統之影響。據最近輶測實際應用之經驗，既知

凡輻線三角測量工作內有不能解釋之系統誤差存在，則此二種誤差在
輻線三角鎖所發生之影響，更應作詳細之探討矣。

自摄影幾何學知凡成透視關係之二平面，均有二相對點存在，其
特徵為：以此二點為站點，在二面上所量至其他各點之夾角均彼此相
等，此點名為等角點。設像光之傾斜角為 α 時，則此等角點位於像光
上自像光主點沿 α 方向之 $F \tan \frac{\alpha}{2}$ 處，其中 F 為攝影焦距。故如地面
無高低差時，以等角點為輻線中點作輻線三角測量，可無系統誤差存
在。地面因高低差所發生攝影之扭曲，沿自像光天底點 N 出發之輻線
方向，假如攝影方向無傾斜時，則以像光天底點為輻線中點作輻線測
量，亦無系統誤差存在。實際應用時攝影方向之傾斜不可避免，而地
面之高低差，視地域情形，或甚或微，工作時遂不能得嚴格之解決。
普通往往擇像光主點，像光等角點或像光天底點中之一為輻線中點，而
最普通者厥為像光主點之應用，蓋由此可省却求攝影傾斜角 α 之煩，
且在理論上固無一點可以得完善之結果也。

由於攝影方向之傾斜 α 及地面高低差 Δh 所發生輻線方向之扭曲
，其關係公式在德國約但黎希全書中，應用單位圖關係推求，茲更利
用其扭曲之特徵，推算如下。分以像光等角點，像光主點及像光天底
點為輻線中點三種情形，所有之演化均以保持二次小值為原則。

等角點： 圖二所表示之各點為：

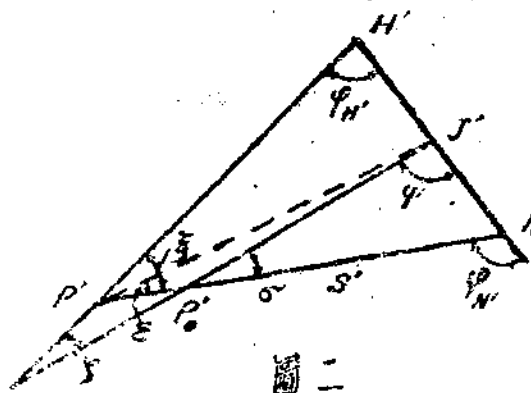
H' —像光主點， J' —像光等角點， N' —像光天底點，

P' —地形點攝影， P_0' —地形點高差為零時攝影之位置。

在了點處至攝影點所成之方向角中應與地面上相當點所量者相等

但因地形點高差 Δh 之關係，使 P_0' 點沿自天底點 N' 之方向作 $P_0'P'$

αr 之移動，故由而發生之誤差為 $\delta_J \cdot H'J'$ 之長為 $f \cdot \tan \frac{\varphi}{2}$ ， $J'N'$ 之長為 $(f \cdot \tan \vartheta) - (f \cdot \tan \frac{\varphi}{2})$ ，只係歸至二次小值時，則其長均為 $f \cdot \frac{\varphi}{2}$ 。



圖二

自三角形 $P'N'J'$ ：

$$\frac{\varepsilon}{N'J'} = \frac{\sin(\varphi + \delta_J)}{S' + \alpha r} = \frac{\sin \varphi (1 - \frac{\delta_J^2}{2}) + \delta_J \cdot \cos \varphi}{S' (1 + \frac{\alpha r}{S'})}$$

$$\begin{aligned} \varepsilon &= \frac{f \cdot \vartheta}{2S'} (\sin \varphi + \delta_J \cos \varphi) (1 + \frac{\alpha r}{S'}) = \frac{f \cdot \vartheta}{2S'} \sin \varphi + \frac{f \cdot \vartheta \cdot \delta_J}{2S'} \cos \varphi \\ &\quad + \frac{f \cdot \vartheta \cdot \alpha r}{2S'^2} \sin \varphi \end{aligned} \quad (14)$$

更自三角形 $P'N'J'$ ：

$$\frac{\varepsilon}{N'J'} = \frac{\sin \varphi}{S'}$$

$$\varepsilon = \frac{f \cdot \vartheta}{2S'} \cdot \sin \varphi \quad (15)$$

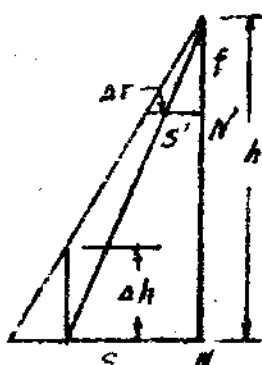
故

$$\delta_J = \vartheta - \varepsilon = \frac{f \cdot \vartheta}{2S'} \sin \varphi \cdot \cos \varphi \cdot \delta_J + \frac{f \cdot \vartheta \cdot \alpha r}{2S'^2} \cdot \sin \varphi$$

$$\delta_J (1 + \frac{f \cdot \vartheta}{2S'} \cos \varphi) = \frac{f \cdot \vartheta \cdot \alpha r}{2S'^2} \cdot \sin \varphi$$

$$\delta_J = \frac{f \cdot \vartheta \cdot \alpha r}{2S'^2} \cdot \sin \varphi (1 - \frac{f \cdot \vartheta}{2S'} \cos \varphi) = \frac{f \cdot \vartheta \cdot \alpha r}{2S'^2} \cdot \sin \varphi \quad (16)$$

但在小甚小時，按圖三得：



$$\frac{\alpha r}{S'} \approx \frac{ah}{h} \quad \text{或} \quad \alpha r = \frac{S'}{h} ah \quad (17)$$

$$\text{而} \quad S' = \frac{f}{h} \quad (18)$$

$$\begin{aligned} \text{故得: } \delta_J &= \frac{\vartheta}{2} \cdot \sin \varphi \left(\frac{f}{S'} \right) \left(\frac{\alpha r}{S'} \right) = \frac{\vartheta}{2} \sin \varphi \left(\frac{f}{h} \right) \left(\frac{ah}{h} \right) \\ &= \frac{\vartheta}{2} \cdot \sin \varphi \cdot \frac{ah}{h} \end{aligned}$$

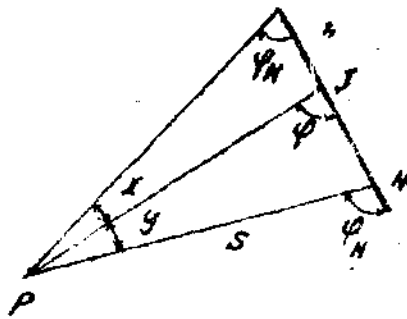
圖三

$$\underline{\delta_j = \frac{d}{2} \sin \varphi \tan \beta} \quad (19)$$

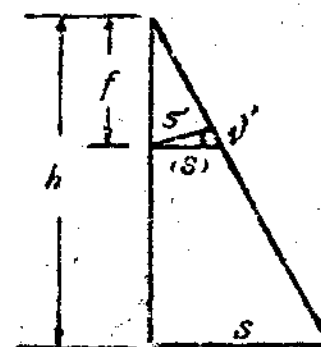
β 為相當之地面坡度角

像片天底點：由圖二及式(15)得

$$\varphi_N = -\frac{f \cdot d}{2S} \cdot \sin \varphi \quad (20)$$



圖四



圖五

更由地面上求其相當點間方向角之關係。按圖四設各點 H, J, N, P 為地面上相當於像片上之 H', J', N', P' 等各點，則自三角形 PNJ 得：

$$y = \varphi_N - \varphi = \frac{h}{2} d \cdot \frac{\sin \varphi}{s} \quad (21)$$

像片上距離 s' 與其地面上相當距離 s 相夾之角 ψ' 與該距離之方位角 ψ 有關。在 ψ 為零時，此角即為攝影傾斜 α ，當 ψ 為 90° 時，則此二距離平行。故由簡單之演化，可知其關係為：

$$\psi' = \psi \cdot \cos \varphi \quad (22)$$

由圖五可知：

$$s' = (s) - (s) \sqrt{1 - \frac{s^2}{h^2}} = s \frac{f}{h} (1 - \sqrt{1 - \frac{s^2}{h^2}})$$

$$= s \left(\frac{f}{h} \right) \left(1 - \psi \cdot \cos \varphi \frac{s}{h} \right) \quad (23)$$

今令 φ_N 與 φ_N' 之差為 δ_N ，則自式(20)、(21)及(23)關係得

$$\begin{aligned}
 \delta_N' = \varphi_{N'} - \varphi_N &= \sigma - g + \frac{f \cdot v}{2 \cdot s} \sin \varphi - \frac{h}{2} \cdot v \frac{\sin \varphi}{s} \\
 &= \frac{P \cdot v}{2(s \cdot h)} \cdot \sin \varphi \left(1 + v \frac{\cos \varphi \cdot s}{h} \right) - \frac{h \cdot v}{2} \cdot \frac{\sin \varphi}{s} \\
 &= \frac{h \cdot v}{2 \cdot s} \cdot \sin \varphi + \frac{v^2}{2} \cdot \sin \varphi \cdot \cos \varphi - \frac{h \cdot v}{2 \cdot s} \cdot \sin \varphi \\
 \underline{\delta_N' = \frac{v^2}{4} \sin 2\varphi} &\quad (24)
 \end{aligned}$$

微光主意：

仍利用圖二，首求 φ 與 $\varphi_{N'}$ 之差，則得：

$$\xi = \varphi - \varphi_{N'} = \sigma - g \quad (25)$$

自三角形 DHN' ：

$$\frac{\xi}{f \cdot v} = \frac{\sin \varphi_{N'}}{s' \left(1 + \frac{ar}{s'} \right)}$$

$$\begin{aligned}
 \xi = f \cdot v \frac{\sin(\varphi - g)}{s' \left(1 + \frac{ar}{s'} \right)} &= \frac{f \cdot v}{s'} (\sin \varphi - g \cdot \cos \varphi) \left(1 - \frac{ar}{s'} \right) \\
 \xi = \frac{f \cdot v}{s'} \sin \varphi - \frac{f \cdot v}{s'} g \cos \varphi \cdot g - \frac{f \cdot v}{s'} \sin \varphi \left(\frac{ar}{s'} \right) &\quad (26)
 \end{aligned}$$

代式 (15) 及 (26) 之關係於式 (25) 得：

$$\begin{aligned}
 g = \xi - \sigma &= + \frac{f \cdot v}{2s'} \sin \varphi - \frac{f \cdot v}{s'} \cos \varphi \cdot g - \frac{f \cdot v}{s'} \sin \varphi \left(\frac{ar}{s'} \right) \\
 g \left(1 + \frac{f \cdot v}{s'} \cos \varphi \right) &= \frac{f \cdot v}{2s} \cdot \sin \varphi - \frac{f \cdot v}{s'} \sin \varphi \left(\frac{ar}{s'} \right) \\
 g \cdot \frac{f \cdot v}{2s'} \cdot \sin \varphi - \frac{f \cdot v}{s'} \sin \varphi \left(\frac{ar}{s'} \right) - \frac{f^2 v^2}{2s'^2} \sin \varphi \cos \varphi &\quad (27)
 \end{aligned}$$

代式 (23) 之關係於式 (27) 得：

$$g = \frac{f \cdot v}{2s} \cdot \frac{h}{f} \cdot \sin \varphi \left(1 + \frac{s}{h} \cdot v \cdot \cos \varphi \right) - \frac{h \cdot v}{s} \sin \varphi \left(\frac{ar}{s'} \right)$$

$$\begin{aligned}
 & -\frac{h^2 v^2}{2 s^2} \sin \varphi \cos \varphi \\
 g = & \frac{h v}{2 s} \sin \varphi + \frac{v^2}{2} \sin \varphi \cos \varphi - \frac{h v}{s} \sin \varphi \left(\frac{ar}{s} \right) - \frac{h^2 v^2}{2 s^2} \sin \varphi \cos \varphi \quad (28)
 \end{aligned}$$

在地面上相當點間之夾角，自圖四之三角形 PHJ 得：

$$x = \varphi - \varphi_H = \frac{h \cdot v}{2} \frac{\sin \varphi}{PH} \quad (29)$$

更自三角形 PIN 得：

$$\begin{aligned}
 PH = & s \frac{\sin \varphi_N}{\sin \varphi_H} = s \frac{\sin(\varphi_H + x + y)}{\sin \varphi_H} = s \frac{\sin \varphi_H + (x+y) \cos \varphi_H}{\sin \varphi_H} \\
 = & s(1 + (x+y) \cos \varphi_H) = s \left(1 + x \cos \varphi_H + \frac{h \cdot v}{2} \frac{\sin \varphi \cos \varphi_H}{s} \right) \quad (30)
 \end{aligned}$$

代入 (30) 於式 (29) 得：

$$\begin{aligned}
 x = & \frac{h \cdot v}{2} \frac{\sin \varphi}{s} \left(1 - x \cos \varphi_H - \frac{h v}{2 s} \cos \varphi \right) \\
 = & \frac{h v}{2} \frac{\sin \varphi}{s} - \frac{h v}{2} \frac{\cos \varphi}{s} \cdot x - \frac{h^2 v^2}{4 s^2} \cdot \sin \varphi \cos \varphi
 \end{aligned}$$

故

$$x \left(1 + \frac{h \cdot v}{2} \frac{\cos \varphi}{s} \right) = \frac{h \cdot v}{2} \frac{\sin \varphi}{s} - \frac{h^2 v^2}{4 s^2} \cdot \sin \varphi \cos \varphi$$

而

$$\begin{aligned}
 x = & \frac{h \cdot v}{2} \frac{\sin \varphi}{s} - \frac{h^2 v^2}{4 s^2} \cdot \sin \varphi \cos \varphi - \frac{h^2 v^2}{4 s^2} \cdot \sin \varphi \cos \varphi \\
 = & \frac{h \cdot v}{2} \frac{\sin \varphi}{s} - \frac{h^2 v^2}{2 s^2} \cdot \sin \varphi \cos \varphi \quad (31)
 \end{aligned}$$

自式 (28) 及 (31)，補 φ_H 與 $\varphi_{H'}$ 之差為 $\delta_{H'}$ ，得：

$$\delta_{H'} = \varphi_{H'} - \varphi_H = x - y = -\frac{v^2}{2} \sin \varphi \cos \varphi + \frac{h v}{2} \sin \varphi \left(\frac{ar}{s} \right)$$

代以式(17)之關係得：

$$\delta_{H'} = -\frac{v^2}{2} \sin \varphi \cos \varphi + \frac{h v}{s} \sin \varphi \frac{ah}{h}$$

或 $\delta_{H'} = -\frac{v^2}{4} \sin 2\varphi + v \cdot \sin \varphi \cdot \tan \beta \quad (32)$

各種情形之結果總列於下表：

表一

輻線中點		等角點	天底點	像底點
誤差來源	攝影方向傾斜 φ	0	$\frac{v^2}{4} \sin 2\varphi$	$-\frac{v^2}{4} \sin 2\varphi$
	地面傾斜 $\tan \beta$	$\frac{v}{2} \sin \varphi \cdot \tan \beta$	0	$v \cdot \sin \varphi \cdot \tan \beta$

(三) 忽視系統誤差之影響

系統誤差之本身，如攝影方向之傾斜及地面之高程差二種，普通其值甚微，可認作偶然性質，略而不計。但當其影響過大於觀測誤差時，則徒改良觀測方法以增加觀測精度，不復能得實際之效益。茲設想複形鏡中各方向 1, 2, 3, ..., 等 (圖一) 均有系統誤差 $\delta_1, \delta_2, \dots$ 等存在，如仍按例用步驟，依條件方程式(3)(4) 平差時，試檢討其影響於輻線三角測量之情形。

今設偶然誤差完全不存在，則純由系統誤差在二條件方程式中所求之不符值設各為 w_1 與 w_2 ，則得：

$$\begin{aligned} -2\delta_1 + 4\delta_2 - 2\delta_3 - 2\delta_4 + \delta_5 + \delta_6 - 2\delta_7 + \delta_8 + \\ - 2\delta_9 + 4\delta_{10} - 2\delta_{11} = w_1 \end{aligned} \quad (33)$$

$$+ \delta_3 - \delta_5 - \delta_7 + \delta_9 = w_2 \quad (34)$$

但系統誤差影響於方向 5 與方向 5' 者相同，方向 7 與方向 7' 者相同，故此恒為零。今按偶然誤差平差方法平差之，則得下列二誤差方程式：

$$\begin{aligned} -2v_1 + 4v_2 - 2v_3 + 2v_4 + v_5 + v_5' - 2v_6 + v_7 + v_7' - 2v_8 + 4v_9 + 2v_{10} + w_1 &= 0 \\ + v_5 - v_5' & \quad - v_7 + v_7' \quad + 0 = 0 \end{aligned}$$

其相當之法方程或為：

$$\left. \begin{array}{l} 60K_1 + w_1 = 0 \\ 4K_2 + 0 = 0 \end{array} \right\} \text{故 } \left. \begin{array}{l} K_1 = -\frac{w_1}{60} \\ K_2 = 0 \end{array} \right\} \quad (35)$$

各方向所得之改正數則為：

$$\begin{aligned} v_1' = v_3' = v_4' = v_6' = v_8' = v_{10}' &= \frac{w_1}{30}, \quad v_2' = v_9' = -\frac{w_1}{15} \\ v_5' = v_5' = v_7' = v_7' &= -\frac{w_1}{60} \end{aligned} \quad (36)$$

自式 (7) 得由系統誤差接偶然誤差平差後所得之比例尺差為：

$$\begin{aligned} \frac{db_2}{b_2} - \frac{db_1}{b_1} &= -2(\delta_1 + v_7) + 2(\delta_2 + v_2) - (\delta_4 + v_4) + (\delta_5 + v_5) \\ &\quad + (\delta_5' + v_5') - (\delta_6 + v_6) + 2(\delta_9 + v_9) - 2(\delta_{10} + v_{10}) \end{aligned}$$

參照式 (36) 得：

$$\begin{aligned} \frac{db_2}{b_2} - \frac{db_1}{b_1} &= -2\delta_1 + 2\delta_2 - \delta_4 + \delta_5 + \delta_5' - \delta_6 + 2\delta_9 - 2\delta_{10} \\ &\quad + \left\{ -2v_1 + 2v_2 + v_4 + v_5 + v_5' - v_6 + 2v_9 - 2v_{10} \right\} \\ &= -2\delta_1 + 2\delta_2 - \delta_4 + \delta_5 + \delta_5' - \delta_6 + 2\delta_9 - 2\delta_{10} + \delta_1 - 2\delta_2 \\ &\quad + \delta_3 + \delta_4 - \frac{1}{2}\delta_5 - \frac{1}{2}\delta_5' + \delta_6 - \frac{1}{2}\delta_7 - \frac{1}{2}\delta_7' + \delta_8 \\ &\quad - 2\delta_9 + \delta_{10} \\ \underline{\frac{db_2}{b_2} - \frac{db_1}{b_1}} &= -\delta_1 + \delta_3 + \delta_4 - \delta_7 + \delta_8 - \delta_{10} \quad (37) \end{aligned}$$

至於系統誤差之影響於導線角，則按式(11)為

$$F = (6) - (4) = \delta_6 + v_6 - (\delta_4 + v_4)$$

按式(36)則 $v_6 = v_4$

$$\text{故 } F = \delta_6 - \delta_4 \quad (38)$$

今設系統誤差源自攝影方向之傾斜及地面之高低差，則此等 δ_1 , δ_2 , ..., 相互之間有一定之關係存在。茲以像元主點為編號中點，則接表一由攝影方向傾斜得各方向之影響為：

$$-\frac{v^2}{4} \sin 2\varphi \quad (39)$$

據式(37)（參看圖一）表列其對每種形比例尺之影響為：（以飛航方向與各像元最大測斜方向所成之角各為 φ_{n+1} , φ_n , ..., φ_{n-1} , φ_n ，其中各角值係完全偶然性質）

$$\left. \begin{aligned} -\delta_1 &= +\frac{v_{n+1}^2}{4} \sin 2(\varphi_{n+1} - 45) = -\frac{v_{n+1}^2}{4} \cos 2\varphi_{n+1}, \\ +\delta_2 &= -\frac{v_{n+1}^2}{4} \sin 2(\varphi_{n+1} + 45) = -\frac{v_{n+1}^2}{4} \cos 2\varphi_{n+1}, \\ +\delta_3 &= -\frac{v_n^2}{4} \sin 2(\varphi_n - 90) = +\frac{v_n^2}{4} \sin 2\varphi_n \\ -\delta_4 &= +\frac{v_n^2}{4} \sin 2(\varphi_n + 90) = -\frac{v_n^2}{4} \sin 2\varphi_n \\ +\delta_5 &= -\frac{v_{n+1}^2}{4} \sin 2(\varphi_{n+1} + 135) = +\frac{v_{n+1}^2}{4} \cos 2\varphi_{n+1} \\ -\delta_6 &= +\frac{v_{n+1}^2}{4} \sin 2(\varphi_{n+1} - 135) = +\frac{v_{n+1}^2}{4} \cos 2\varphi_{n+1} \\ Z &= -\frac{v_{n+1}^2}{2} \cos 2\varphi_{n+1} + \frac{v_{n+1}^2}{2} \cos 2\varphi_{n+1} \end{aligned} \right\} \quad (40)$$

今設有航點攝影條包括像元 1 至 n ，得接表 2 至 7-1，則其比例尺誤差之總和為：

$$\text{第二種形: } -\frac{v_1^2}{2} \cos 2\varphi_1 + \frac{v_2^2}{2} \cos 2\varphi_2$$

$$\text{第三棱形: } -\frac{v_2^2}{2} \cos 2\varphi_2 + \frac{v_4^2}{2} \cos 2\varphi_4$$

$$\text{第四棱形: } -\frac{v_3^2}{2} \cos 2\varphi_3 + \frac{v_5^2}{2} \cos 2\varphi_5$$

$$\text{第}(n-3) \text{ 棱形: } -\frac{v_{n-4}^2}{2} \cos 2\varphi_{n-4} + \frac{v_{n-2}^2}{2} \cos 2\varphi_{n-2}$$

$$\text{第}(n-2) \text{ 棱形: } -\frac{v_{n-3}^2}{2} \cos 2\varphi_{n-3} + \frac{v_{n-1}^2}{2} \cos 2\varphi_{n-1}$$

$$\text{第}(n-1) \text{ 棱形: } -\frac{v_{n-2}^2}{2} \cos 2\varphi_{n-2} + \frac{v_0^2}{2} \cos 2\varphi_0$$

$$\frac{db_n}{b_n} - \frac{db_1}{b_1} = -\frac{v_1^2}{2} \cos 2\varphi_1 - \frac{v_2^2}{2} \cos 2\varphi_2 + \frac{v_{n-1}^2}{2} \cos 2\varphi_{n-1} + \frac{v_n^2}{2} \cos 2\varphi_n \quad (41)$$

故知除首尾二棱形可能發生有系統之誤差外，其間各棱形之影響均相互消抵，是以此種誤差對有系統之比例尺誤差實無重要之影響。至於其對導線角之影響，按式(38)與式(39)之關係，則因 $\sin 2\varphi = \sin 2(\varphi - 180^\circ)$ ，故而恒為零。

今更擴表一設以像先生底為幅線中點，得由地面傾斜所發生方向之影響為：

$$D \cdot \sin \varphi \cdot \tan \beta$$

如以 ah 代表實地之高程差， s 代表自幅線中點至該點實地之距離，則上式亦可寫作：

$$D \cdot \sin \varphi \cdot \frac{ah}{s} \quad (42)$$

地面高程差本屬偶然性質，今為便於撇討其誤差之影響計，假設兩種情形：一即飛航方向沿山谷或山脊進行，二即飛航方向沿山坡之陡側方向進行。

當飛航方向沿山谷或山脊進行時，像先生下方諸棱形與像先生上方諸棱形底之高度差，均約略相等。據式(37)，表列其對每棱形底側之影響為：

$$\left. \begin{aligned}
 -\delta_1 &= -v_{n-1} \sin(\varphi_{n-1} - 45^\circ) \frac{ah}{\sqrt{2}b} = -\frac{ah}{2b} v_{n-1} (\sin \varphi_{n-1} - \cos \varphi_{n-1}) \\
 +\delta_2 &= v_{n-1} \sin(\varphi_{n-1} + 45^\circ) \frac{ah}{\sqrt{2}b} = +\frac{ah}{2b} v_{n-1} (\sin \varphi_{n-1} + \cos \varphi_{n-1}) \\
 +\delta_3 &= +v_n \sin(\varphi_n - 90^\circ) \frac{ah}{b} = -\frac{ah}{b} v_n \cos \varphi_n \\
 -\delta_4 &= -v_n \sin(\varphi_n + 90^\circ) \frac{ah}{b} = -\frac{ah}{b} v_n \cos \varphi_n \\
 +\delta_5 &= +v_{n+1} \sin(\varphi_{n+1} + 135^\circ) \frac{ah}{\sqrt{2}b} = -\frac{ah}{2b} v_{n+1} (\sin \varphi_{n+1} - \cos \varphi_{n+1}) \\
 -\delta_6 &= -v_{n+1} \sin(\varphi_{n+1} - 135^\circ) \frac{ah}{\sqrt{2}b} = +\frac{ah}{2b} v_{n+1} (\sin \varphi_{n+1} + \cos \varphi_{n+1})
 \end{aligned} \right\} \quad (43)$$

$$\Sigma = \frac{ah}{b} v_{n-1} \cos \varphi_{n-1} - \frac{2ah}{b} v_n \cos \varphi_n + \frac{ah}{b} v_{n+1} \cos \varphi_{n+1}$$

今設有航線圖上各點之高程差，則其比例尺誤差之總和為：

$$\text{第二種形 } \frac{ah}{b} d_1 \cos \varphi_1 - \frac{2ah}{b} d_2 \cos \varphi_2 + \frac{ah}{b} d_3 \cos \varphi_3$$

$$\text{第三種形 } -\frac{ah}{b} d_4 \cos \varphi_4 - \frac{2ah}{b} d_5 \cos \varphi_5 + \frac{ah}{b} d_6 \cos \varphi_6$$

$$\text{第四種形 } +\frac{ah}{b} d_7 \cos \varphi_7 - \frac{2ah}{b} d_8 \cos \varphi_8 + \frac{ah}{b} d_9 \cos \varphi_9$$

$$\vdots \qquad \vdots$$

$$\text{第 } (n-3) \text{ 種形 } -\frac{ah}{b} d_{n-3} \cos \varphi_{n-3} - \frac{2ah}{b} d_{n-2} \cos \varphi_{n-2} + \frac{ah}{b} d_{n-1} \cos \varphi_{n-1}$$

$$\text{第 } (n-2) \text{ 種形 } -\frac{ah}{b} d_{n-3} \cos \varphi_{n-3} - \frac{2ah}{b} d_{n-2} \cos \varphi_{n-2} + \frac{ah}{b} d_{n-1} \cos \varphi_{n-1}$$

$$\text{第 } (n-1) \text{ 種形 } +\frac{ah}{b} d_{n-2} \cos \varphi_{n-2} - \frac{2ah}{b} d_{n-1} \cos \varphi_{n-1} + \frac{ah}{b} d_n \cos \varphi_n$$

$$\frac{db_n}{b_n} - \frac{db_1}{b_1} = \frac{ah}{b} v_1 \cos \varphi_1 - \frac{ah}{b} v_2 \cos \varphi_2 - \frac{ah}{b} v_{n-1} \cos \varphi_{n-1}$$

$$+ \frac{ah}{b} v_n \cos \varphi_n \quad (44)$$

各種形間之影響相互消滅，故在此種情形之下，由於有系統之地面高程差亦無重要之系統誤差發生，在第二種情形時，如像片上方諸

鏡形助焦之高度差 ah 與像片下方諸鏡形助焦之高度差 ah 相等，但符號相反，即在式(43)內，設攝方向 1, 5, 10 等所量出之 ah 為正時，則方括 3, 7, 8 等所量出之 ah 為負。而式(43)所代表之總相公式應為：

$$\Sigma = -\frac{ah}{b} v_{n+1} \sin \varphi_{n+1} - \frac{ah}{b} v_{n+2} \sin \varphi_{n+2} \quad (45)$$

今設有航線攝影條 (至 n)，則其比例尺誤差之總相為：

$$\begin{aligned} \frac{db_n}{b_n} - \frac{db_1}{b_1} &= \frac{ah}{b} v_1 \sin \varphi_1 - \frac{ah}{b} v_2 \sin \varphi_2 - \frac{2ah}{b} [v_i \sin \varphi_i] \\ &\quad - \frac{ah}{b} v_{n+1} \sin \varphi_{n+1} - \frac{ah}{b} v_n \sin \varphi_n \end{aligned} \quad (46)$$

此時各誤差影響不相消抵而依偶然誤差定律增進，結果易發生較大之比例尺誤差，但此種飛航情形鮮有實際之應用耳。

至於其對於導線諸誤差傳播之影響，則繫於航線方向兩端面高之高低差，在上述二種情形時均為零。

故知由於攝影方向換轉及地面高低差所可能發生之系統誤差無積累性質，但當航線攝影數目甚少時，由式(41)及(44)所代表之誤差有時甚大，是以影響有系統誤差之探討，使得不正確之結論。今以式(41)估計之，假定 $\cos 2\varphi$ 值均為最大之值，攝影傾斜 $\psi = \pm 2^\circ$ ，則最後光學立杆內所得之比例尺差，約達

$$\sqrt{4 \cdot \frac{\psi^2}{2}} = \left(\frac{2^\circ}{53}\right)^2 = 0.14\%$$

如航線內有十個光學立杆，則每杆立杆物影響之比例尺誤差在攝影系統誤差一般之測量方法應為 0.014% ，其值尚微，但如航線攝影數目更少時，則其值將不復能忽略之矣。